

党参多糖分离纯化及抗氧化活性研究

李启艳¹, 祝清芬¹, 刘春霖¹, 魏霞¹, 朱日然^{2*}

1. 山东省食品药品检验研究院, 山东 济南 250101

2. 山东中医药大学附属医院, 山东 济南 250012

摘要: 目的 分离纯化党参多糖(CPP)并对其结构及抗氧化活性进行研究。方法 加热回流法提取制备党参粗多糖, 经中空纤维超滤实验装置分离获得多糖分级, 采用体内、外方法考察多糖的抗氧化活性。结果 CPP经分离后获得3个级分CPP1、CPP2、CPP3, 体外抗氧化实验表明CPP3对DPPH、羟自由基和超氧阴离子的清除能力最强; 体内实验显示, 高剂量CPP3(400 mg/kg)对D-半乳糖所致衰老小鼠具有明显的保护作用。结论 CPP具有明显的抗氧化功能, 本研究为党参多糖功能性食品的开发提供了理论依据。

关键词: 党参多糖; 分离纯化; 清除自由基; 抗氧化; 中空纤维超滤

中图分类号: R284.2 文献标志码: A 文章编号: 0253-2670(2017)05-0907-06

DOI: 10.7501/j.issn.0253-2670.2017.05.011

Isolation and purification of *Codonopsis pilosula* polysaccharide and its anti-oxidant activity

LI Qi-yan¹, ZHU Qing-fen¹, LIU Chun-lin¹, WEI Xia¹, ZHU Ri-ran²

1. Shandong Institute for Food and Drug Control, Jinan 250101, China

2. Affiliated Hospital of Shandong University of Traditional Chinese Medicine, Jinan 250012, China

Abstract: Objective To isolate and purify the *Codonopsis pilosula* polysaccharide (CPP) and investigate its structure characterization and anti-oxidant activity. **Methods** CPP was extracted by heating reflux, crud polysaccharide was refined and then isolated by hollow fiber ultrafiltration experimental device, the anti-oxidant activity of polysaccharides was studied by *in vivo* and *in vitro* methods. **Results** CPP was purified and obtained three ingredients named CPP1, CPP2, and CPP3. The anti-oxidant activity *in vitro* showed that CPP3 had the strongest scavenging ability on DPPH, hydroxyl radical, and superoxide anion. *In vivo* study showed that high dose group of CPP3 had obvious protective effect on the mice induced by D-galactose. **Conclusion** CPP has obvious anti-oxidant function. This study provides the theoretical basis for the development of CPP functional food.

Key words: *Codonopsis pilosula* polysaccharide; isolation and purification; free radical scavenging; anti-oxidation; hollow fiber ultrafiltration

党参为桔梗科植物党参 *Codonopsis pilosula* (Farnch.) Nannf.、素花党参 *Codonopsis pilosula* Nannf. var. *modesta* (Nannf.) L. T. Shen 或川党参 *Codonopsis tangshen* Oliv. 的干燥根, 是我国常用的补益药材, 具有补中益气、健脾益肺的功效^[1]。研究表明, 党参含有多糖类、植物甾醇类、萜类、生物碱类、苯丙素苷类等多种化学成分, 其中多糖类所占比例最大^[2-3]。目前, 党参多糖 (*Codonopsis pilosula* polysaccharide, CPP) 的生物活性研究大多

局限于其对免疫系统功能的调节方面, 这在某种程度上阻碍了药材党参的相关新药资源开发, 致使药材党参的附加值不高, 制约了党参种植及相关产业的发展^[4-5]。本课题组曾对CPP提取纯化工艺进行优化, 并对其单糖组成和相对分子质量(M_W)分布进行了研究^[6], 本研究采用热回流浸提方法对党参中的多糖成分进行提取, 并采用单因素和响应面法对其进行工艺进行优化。在此基础上采用中空纤维超滤^[7]实验装置对提取的党参粗糖多进行分级, 并考察不

收稿日期: 2016-10-17

基金项目: 山东省中医药科技发展计划项目(2013-227)

作者简介: 李启艳(1978—), 女, 副主任药师, 博士, 研究方向为中药质量控制。E-mail: 1336504774@qq.com

*通信作者 朱日然(1979—), 男, 副主任药师, 学士, 研究方向为中药质量控制。E-mail: zhuriran@163.com

同 M_w CPP 中的单糖组成及体内外抗氧化活性, 为进一步探索 CPP 的构效关系及作用机制奠定基础。

1 仪器与材料

1.1 试药与试剂

党参, 采购于山西潞城, 经山东省中医药大学附属医院张学顺教授鉴定为桔梗科植物党参 *Codonopsis pilosula* (Fisch.) Nannf. 的干燥根; 血清白蛋白, 北京恒业中远化工有限公司; 葡聚糖, 截留 M_w 500 000, 上海谷研科技有限公司; 考马斯亮蓝, 上海迈坤化工有限公司; 维生素 C (VC)、D-半乳糖均购自 Sigma 公司; 实验测定试剂盒均购自碧云天生物技术有限公司; 其他试剂均为分析纯。

1.2 仪器与设备

TU-1901 紫外可见分光光度计, 北京普析通用仪器有限责任公司; Tensor II 傅里叶变换红外光谱仪, 德国 Bruker 公司; 中空纤维超滤装置, 北京旭邦膜设备有限责任公司; LGJ-10 冷冻干燥机, 北京四环科学仪器四厂; ML503 电子天平, Mettler Toledo 仪器(上海)有限公司; 德国 Heidolph 旋转蒸发器, 艾拓思实验设备(上海)有限公司; Millipore QA 纯水处理器, Millipore 公司。Bradford 蛋白浓度测定试剂盒、丙二醛 (MDA) 检测试剂盒、超氧化物歧化酶 (SOD) 活性检测试剂盒、谷胱甘肽 (GSH) 和谷胱甘肽过氧化物酶 (GSH-Px) 检测试剂盒均购自碧云天生物技术有限公司。

1.3 实验动物

1 月龄清洁型雌性 ICR 小鼠, 共 60 只, 体质量 (20 ± 2) g, 购于山东省实验动物中心, 许可证号 SCXK(鲁)20140007。饲养环境安静, 室温 25 ℃, 各组小鼠自由进食、饮水。

2 方法

2.1 党参粗多糖的制备

取 60 ℃ 干燥后粉碎的党参药材, 加入 3 倍体积的石油醚 (30~60 ℃), 加热回流 2 次, 每次 2 h, 弃去提取液, 滤渣挥干溶剂。取 500 g 脱脂处理的党参药材粉末, 以水为提取溶剂, 在提取温度为 85 ℃, 料液比为 1:12, 提取时间为 1.5 h 的情况下回流提取 2 次, 合并提取液, 经 5 000 r/min 离心 10 min, 60 ℃ 减压浓缩至 2 000 mL, 加入 4 倍体积的无水乙醇过夜, 沉淀多糖, 干燥至恒定质量即得粗多糖样品^[8]。

2.2 CPP 的分离与精制

2.2.1 CPP 的精制与分离操作流程及考察指标

党参粗多糖加水溶解, 置分液漏斗中, 采用 Sevage 法沉淀蛋白。将去除蛋白的多糖溶液加于 DEAE-纤维素柱, 经 1 mol/L NaCl 溶液洗脱, 洗脱液浓缩后灌入透析袋中, 循环透析 24 h, 除去残留 NaCl 及其他的小分子物质^[9-11]。

将透析后的多糖旋蒸浓缩, 选用合适的超滤膜, 在适当的压力和膜通量下, 以一定的体积流量进行超滤, 工作流程图见图 1。

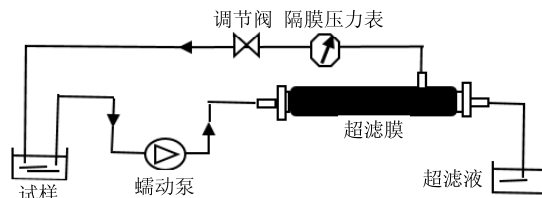


图 1 超滤装置工作流程图

Fig. 1 Ultrafiltration device flowcharts

采用恒流泵提供动力和控制体积流量, 调节调压阀控制压力, 将试样放入恒温水浴中, 透过液采用量筒收集, 计算膜通量和截留率。

$$\text{膜通量} = V/(St)$$

$$\text{截留率} = V_2 C_2 / (V_1 C_1)$$

V 为超滤时间内透过的超滤液的体积 (mL), t 为超滤时间 (min), S 为有效膜面积 (cm^2), V_2 和 C_2 分别是截留后超滤液的体积和质量浓度, V_1 和 C_1 分别是储存液的体积和质量浓度

2.2.2 超滤膜的选择 不同规格的超滤膜对截留率和膜通量的影响, 截留 M_w 越大, 截留率越低, 膜通量越大, M_w 30 000 与 M_w 10 000 相比截留率相差不明显, 而膜通量显著增加; M_w 5 000 与 M_w 3 000 相比截留率相差不明显, 而 M_w 5 000 的膜通量显著增加, 因此, 选择 M_w 300 000 的超滤膜进行初滤, M_w 30 000 和 M_w 5 000 分别对多糖进行截留, 结果见表 1。

2.2.3 超滤压力的选择 适当增加超滤压力, 膜通量在一定范围内可以提高, 但随着超滤压力的增大, 膜表面的质量浓度也会增加, 因此导致截留率会相应的降低, 由表 2 可以看出, 当超滤压力为 0.2 MPa 时, 膜通量相对较大, 而截留率也不至于太低, 因此选择超滤压力为 0.2 MPa 较合适。

2.2.4 超滤温度的选择 多糖的生物活性会随着温度的升高而改变, 因此一般情况下超滤的温度不宜超过 50 ℃。因此, 本实验考察温度为 25、35、45 ℃ 时, 对截留率和膜通量的影响, 结果见表 3。结果显示, 膜通量会随着温度的升高而增加, 但是随着

表1 不同规格的超滤膜对截留率和膜通量的影响

Table 1 Effects of different sizes of ultrafiltration membrane on rejection rate and membrane flux

截留 M_w	多糖质量浓度/ (mg·mL ⁻¹)	超滤时间/ min	截留率/ %	膜通量/ (mL·cm ⁻² ·min ⁻¹)
300 000	1.208	4	90.45	0.96
150 000	1.254	8	92.96	0.89
30 000	1.648	20	93.28	0.62
10 000	1.845	28	94.65	0.40
5 000	2.000	34	98.53	0.35
3 000	2.225	41	99.26	0.24

表2 超滤压力对截留率和膜通量的影响

Table 2 Effect of ultrafiltration pressure on retention rate and membrane flux

超滤压 力/MPa	多糖质量浓度/ (mg·mL ⁻¹)	超滤时 间/min	截留率/ %	膜通量/ (mL·cm ⁻² ·min ⁻¹)
0.10	1.926	48	95.42	0.34
0.15	1.895	35	95.65	0.38
0.20	1.846	26	94.60	0.42
0.25	1.752	20	90.20	0.43
0.30	1.635	17	85.40	0.44

表3 超滤温度对截留率和膜通量的影响

Table 3 Effect of ultrafiltration temperature on retention rate and membrane flux

超滤温 度/°C	多糖质量浓度/ (mg·mL ⁻¹)	超滤时 间/min	截留率/ %	膜通量/ (mL·cm ⁻² ·min ⁻¹)
25	1.765	24	93.42	0.39
35	1.780	21	94.50	0.40
45	1.775	20	94.45	0.43

温度的升高，溶液的黏度也会增加，相应的膜的截留率也会下降，因此在保证有一定的膜通量的情况下，选择25 °C作为超滤温度，以便于操作。

2.2.5 超滤法分离 CPP 的流程 将预处理的 CPP 粗提液采用中空纤维超滤实验装置，设定超滤压力为0.20 MPa，超滤温度为25 °C，超滤膜选用CLN-300KD (M_w 300 000)、CLN-30KD (M_w 30 000)、CLN-5KD (M_w 5 000) 3种滤膜，其中CLN-300KD的超滤膜起初滤的作用，CLN-30KD和CLN-5KD分别截留30 000以上，30 000~5 000和5 000以下 M_w 的多糖共3个组分，即CPP1、CPP2、CPP3，具体流程见图2。

2.3 红外光谱分析

取党参多糖各级冻干粉3.0 mg与KBr混合研磨均匀后压片，使用红外光谱扫描仪在4 000~400 cm⁻¹内进行扫描，记录扫描图谱。由图3可知，党参多糖组分在3 418 cm⁻¹处有一吸收强度较大的峰，是多糖特征的O-H的伸缩振动峰，由糖分子内或分子间氢键O-H伸缩振动引起的吸收；2 930 cm⁻¹附近的吸收峰为次甲基(-CH₂)中-C-H的伸缩振动的吸收峰；1 633 cm⁻¹附近的吸收峰为C=O伸缩振动峰；1 056 cm⁻¹附近的吸收峰，此为醇羟基的变角振动；923 cm⁻¹的吸收，此吸收为吡喃糖环醚键(-C-O-C-)的非对称伸缩振动，为甘露糖的特征吸收。由红外图谱可知CPP1、CPP2、CPP3具有明显的糖类化合物的特征。

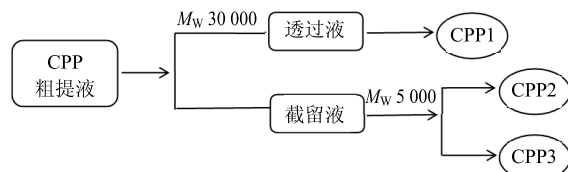


图2 超滤法分离流程图

Fig. 2 Separation flow chart by ultrafiltration

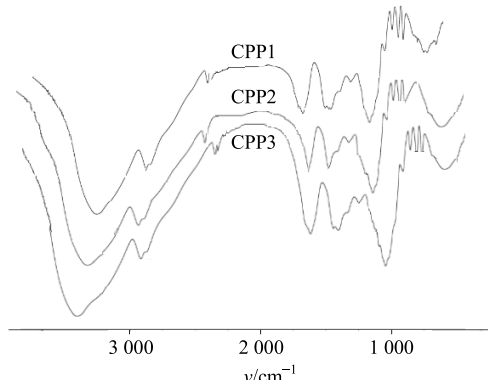


图3 党参多糖红外光谱图

Fig. 3 Infrared spectrogram of CPP

2.4 体外抗氧化活性研究^[12-14]

2.4.1 CPP 对 DPPH 自由基清除能力的测定 取1.0 mg/mL的多糖溶液2.0 mL，加入2.0 mL现配的0.2 mmol/L DPPH-乙醇溶液，混匀后静置30 min，以50%的乙醇作参比，在517 nm测定样品的吸光度(A)值。以2.0 mL蒸馏水代替多糖溶液，其余操作同上作为空白，VC作阳性对照。样品对DPPH的清除率即为自由基清除率。

$$\text{DPPH 自由基清除率} = (A_{\text{DPPH}} - A_{\text{样品}})/A_{\text{DPPH}}$$

CPP1、CPP2、CPP3对DPPH的清除作用结果

如表4所示。由表4可知,VC对DPPH的清除作用强于CPP。CPP各级分随着质量浓度增加清除率增大, CPP3清除作用强于CPP1和CPP2。

2.4.2 CPP对羟自由基清除能力测定 取10 mL的试管,每支加入2 mL的FeSO₄溶液(6 mmol/L)以及2 mL不同浓度的多糖溶液,然后加入2 mL的H₂O₂(6 mmol/L)溶液,摇匀后静置10 min,再加入2 mL的水杨酸(6 mmol/L)溶液,摇匀后静置30 min,测定其在510 nm处A值,以蒸馏水按同样方法做空白,以VC作阳性对照。每个样品重复试验3次,取其平均值,计算羟自由基的清除率。

清除率= $A_0 - (A_i - A_f)/A_0$
 A_0 为不加样品溶液的A值, A_i 为加入样品溶液反应后的A值, A_f 为不加水杨酸时溶液的A值

各级多糖对羟自由基的清除作用结果如表5所示。由表5可知,当VC质量浓度达0.5 mg/mL时其对羟基自由基清除率达95.33%。在一定的范围内

多糖清除羟自由基的能力随着浓度的增大而增强,相同浓度下, CPP3清除作用强于CPP1和CPP2。

2.4.3 CPP对超氧阴离子自由基清除能力测定 取6.0 mL 50 mmol/L、pH 8.12 Tris-HCl缓冲液,分别加入不同质量浓度多糖溶液0.5 mL,混匀后37 °C水浴保温10 min,加入37 °C预热过的7 mmol/L邻苯三酚盐酸溶液1 mL,混匀,测定其在325 nm处的A值。依照以上方法,用蒸馏水代替样品,所测得 A_0 为邻苯三酚的吸光度,以VC作为阳性对照,每个样品重复3次,取其平均值,计算清除率。

$$\text{清除率} = (A_0 - A)/(A_0)$$

A_0 为空白邻苯三酚的吸光度,A为加入样品溶液后邻苯三酚的吸光度

CPP1、CPP2、CPP3对超氧阴离子的清除作用结果如表6所示。由表6可知,党参多糖对超氧阴离子的清除作用弱于阳性对照VC,当样品质量浓度为5 mg/mL时VC的清除率达99.01%, CPP1为

表4 CPP对DPPH自由基的清除能力
Table 4 DPPH free radical scavenging ability of CPP

样品	DPPH自由基清除率/%					
	0.125 mg·mL ⁻¹	0.25 mg·mL ⁻¹	0.5 mg·mL ⁻¹	1.0 mg·mL ⁻¹	2.0 mg·mL ⁻¹	5.0 mg·mL ⁻¹
CPP1	2.57	5.56	11.07	23.03	34.48	48.95
CPP2	3.58	7.56	14.86	29.23	54.25	61.34
CPP3	4.54	8.31	16.07	32.28	65.03	78.72
VC	98.99	98.97	99.04	99.05	99.05	99.06

表5 CPP对羟自由基的清除能力
Table 5 Hydroxyl radical scavenging ability of CPP

样品	羟自由基清除率/%					
	0.125 mg·mL ⁻¹	0.25 mg·mL ⁻¹	0.5 mg·mL ⁻¹	1.0 mg·mL ⁻¹	2.0 mg·mL ⁻¹	5.0 mg·mL ⁻¹
CPP1	4.56	11.23	20.21	26.32	34.48	42.37
CPP2	5.52	13.57	22.55	27.43	36.55	47.58
CPP3	11.25	17.54	25.43	32.28	45.45	61.68
VC	57.80	73.54	95.33	96.89	98.02	98.81

表6 CPP对超氧阴离子的清除能力
Table 6 Superoxide anion scavenging capacity of CPP

样品	超氧阴离子清除率/%					
	0.125 mg·mL ⁻¹	0.25 mg·mL ⁻¹	0.5 mg·mL ⁻¹	1.0 mg·mL ⁻¹	2.0 mg·mL ⁻¹	5.0 mg·mL ⁻¹
CPP1	5.52	11.02	20.21	38.29	59.05	71.02
CPP2	7.56	12.43	23.56	42.31	65.24	75.52
CPP3	12.30	15.67	32.28	54.99	89.59	90.33
VC	33.01	78.09	97.30	98.01	98.72	99.01

71.02%，CPP2为75.52%，CPP3为90.33%。在质量浓度为0.125~5.0 mg/mL时，CPP3清除作用强于CPP1和CPP2。

2.5 CPP3对D-半乳糖所致衰老小鼠模型的保护作用^[14-17]

2.5.1 溶液的配制 D-半乳糖溶液的配制：取D-半乳糖适量，溶于生理盐水中配制成4 mg/mL的溶液，储存于4℃冰箱中备用。CPP溶液的配制：称取一定量的党参多糖CPP3，溶于生理盐水中配制成20 mg/mL的溶液，储存于4℃冰箱中备用。

2.5.2 实验动物分组 将健康清洁级ICR雌性小鼠，经1周环境适应性饲养，随机分为6组：对照组，模型组，VE阳性对照组，党参多糖CPP3低、中、高剂量组。每组10只，分笼饲养。

2.5.3 给药 除对照组每天颈背部sc生理盐水外，其他5组均按80 mg/(kg·d)的剂量颈背部sc D-半乳糖。与此同时，党参多糖CPP3低、中、高剂量组分别以100、200、400 mg/(kg·d) ig给药，VE阳性对照组以25 mg/(kg·d) ig给药，对照组和衰老模型组小鼠则ig相应体积的生理盐水。

2.5.4 组织样品的处理 实验第48天(造模与给药均为48 d)，停止药物干预，小鼠禁食12 h，以眼眶

后静脉丛取血，取血后颈椎脱臼处死小鼠，取出肝脏用0.9%预冷的生理盐水制备10%的组织匀浆，备用。分别测定血清及肝组织中SOD、GSH-Px、GSH及MDA水平。

2.5.5 数据处理 采用SPSS 16.0软件进行ANOVA单因素方差分析，数据以 $\bar{x} \pm s$ 表示，组间比较采用t检验， $P < 0.05$ 为显著性差异， $P < 0.01$ 为极显著性差异。

2.5.6 小鼠血清指标的变化 由表7可知，与对照组相比，模型组小鼠血清中SOD、GSH-Px和GSH的活性均明显降低($P < 0.05$)，而MDA水平显著增加($P < 0.05$)，证明D-半乳糖致正常小鼠衰老模型造模成功。CPP3高剂量组能显著升高SOD、GSH-Px和GSH的活性($P < 0.05$)，且显著降低MDA水平($P < 0.05$)，与VE阳性对照组无显著性差异($P > 0.05$)，证明CPP组分CPP3高剂量组对小鼠的抗氧化作用显著；而中、低剂量组对小鼠的抗氧化作用不明显。

2.5.7 小鼠肝脏指标的变化 由表8可知，与对照组比较，模型组小鼠肝脏组织匀浆中SOD、GSH-Px和GSH的活性均明显降低($P < 0.05$)，而MDA水平显著增加($P < 0.05$)，证明D-半乳糖致正常小鼠

表7 CPP3对小鼠血清SOD、GSH-Px、GSH及MDA的影响
Table 7 Effects of CPP3 on serum SOD, GSH-Px, GSH, and MDA in mice

组别	SOD/(mU·mg ⁻¹)	GSH-Px/(mU·mg ⁻¹)	GSH/(mU·mg ⁻¹)	MDA/(mmol·L ⁻¹)
对照	1.234 3±0.194 5 ^{a,b}	337.968 7±92.105 1 ^b	50.644 7±36.601 4 ^b	20.675 9±10.861 5 ^c
模型	0.958 4±0.332 8 ^a	244.869 7±27.171 2 ^{a,c}	20.649 2±12.171 0 ^{a,c}	43.235 3± 7.778 5 ^{a,c}
VE	1.032 0±0.253 0 ^a	336.797 1±49.287 9 ^b	41.942 2±15.786 3 ^b	27.437 7± 1.723 8 ^b
CPP3低剂量	0.753 0±0.118 1 ^{a,c}	249.189 4±55.610 0 ^{a,c}	22.896 4±3.491 6 ^{a,c}	43.278 7± 5.155 3 ^{a,c}
CPP3中剂量	0.875 0±0.192 8 ^a	274.432 3±69.373 3 ^{a,c}	21.712 6±5.322 5 ^{a,c}	40.228 1±10.675 5 ^{a,c}
CPP3高剂量	1.027 2±0.149 8 ^a	331.532 6±74.343 9 ^{a,b}	40.114 5±14.328 4 ^b	25.344 2± 2.495 6 ^{a,b}

与对照组比较：^a $P < 0.05$ ；与模型组比较：^b $P < 0.05$ ；与VE组比较：^c $P < 0.05$ ，下同

^a $P < 0.05$ vs control group; ^b $P < 0.05$ vs model group; ^c $P < 0.05$ vs VE group, same as below

表8 CPP3对小鼠肝脏组织匀浆SOD、GSH-Px、GSH及MDA的影响
Table 8 Effects of CPP3 on SOD, GSH-Px, GSH, and MDA in liver homogenate of mice

组别	SOD/(mU·mg ⁻¹)	GSH-Px/(mU·mg ⁻¹)	GSH/(mU·mg ⁻¹)	MDA/(mmol·L ⁻¹)
对照	1.855 8± 0.635 3 ^{b,c}	774.738 3±178.260 7 ^b	217.955 5±17.055 1 ^b	113.082 7±25.008 7 ^c
模型	1.225 9± 0.215 0 ^a	470.283 4± 39.026 0 ^{a,c}	110.623 6±10.874 3 ^{a,c}	189.804 7±61.524 3 ^{a,c}
VE	1.483 7± 0.645 2 ^a	691.039 3±182.041 3 ^b	117.559 6±25.496 1 ^b	113.438 3±31.594 3 ^b
CPP3低剂量	0.992 7± 0.351 0 ^{a,c}	439.942 5± 76.424 2 ^{a,c}	117.803 7±13.374 1 ^{a,c}	181.981 4±72.324 5 ^{a,c}
CPP3中剂量	1.194 0±50.278 2 ^a	476.037 7±153.289 4 ^{a,c}	117.115 0±14.952 8 ^{a,c}	193.271 9±62.393 7 ^{a,c}
CPP3高剂量	1.425 8± 0.365 4 ^{a,b}	623.557 1±164.702 5 ^{a,b}	165.385 0±18.778 4 ^{a,b}	112.727 1±32.659 2 ^b

衰老模型造模成功。CPP3 高剂量组能显著提高小鼠肝脏组织中 SOD、GSH-Px 和 GSH 酶的活性 ($P < 0.05$)，并能显著降低 MDA 水平 ($P < 0.05$)，与 VE 阳性对照组相比，无显著性变化 ($P > 0.05$)；而中、低剂量组对小鼠肝脏中 SOD、GSH-Px 和 GSH 的活性及 MDA 水平的影响较小 ($P > 0.05$)。

3 讨论

本研究采用采用中空纤维超滤实验装置，以膜通量为指标，对 CPP 粗提液进行分级、冷冻干燥，最终筛选出 3 个组分 CPP1、CPP2、CPP3。单糖组成分析和红外光谱数据表明，CPP1 可能是以葡萄糖醛酸为主链组成的杂多糖，而 CPP2 和 CPP3 可能是以氨基半乳糖为主链组成的杂多糖^[18-19]。体外抗氧化实验结果表明，CPP 对 DPPH、羟自由基和超氧阴离子自由基的清除能力弱于 VC，但在一定浓度范围内，CPP3 的清除作用强于 CPP1 和 CPP2，表明低 M_w 的 CPP3 抗氧化作用最强。根据体外抗氧化实验结果，选择考察体外抗氧化力最强的 CPP3 对 D-半乳糖致衰老小鼠的保护作用，结果 CPP3 高剂量组能显著提高小鼠血清和肝脏组织中 SOD、GSH-Px 和 GSH 酶的活性，表明 CPP3 对 D-半乳糖所致衰老小鼠具有明显的保护作用。

参考文献

- [1] 张雪梅. 党参多糖研究概况 [J]. 辽宁中医药大学学报, 2015, 17(12): 127-131.
- [2] 郭琼琼. 党参挥发性成分分析及特殊香气研究 [D]. 太原: 山西医科大学, 2016.
- [3] 孙政华, 邵晶, 郭政. 党参化学成分及药理作用研究进展 [J]. 安徽农业科学, 2015, 43(33): 174-176.
- [4] Xu C, Liu Y, Yuan G X, et al. The contribution of side chains to antitumor activity of a polysaccharide from *Codonopsis pilosula* [J]. *Int J Biol Macromol*, 2012, 50(4): 891-901.
- [5] Liu C, Chen J, Li E T, et al. The comparison of antioxidative and hepatoprotective activities of *Codonopsis pilosula* polysaccharide (CP) and sulfated CP [J]. *Int Immunopharmacol*, 2015, 24(2): 299-307.
- [6] 李启艳, 胡德福, 张雪梅, 等. 党参多糖提取纯化工艺优化及其组成研究 [J]. 中草药, 2016, 47(15): 2663-2667.
- [7] 武婧, 唐志书, 宋忠兴, 等. 山茱萸水提液超滤工艺优化研究 [J]. 中草药, 2015, 46(22): 3338-3343.
- [8] Zou Y F, Chen X F, Malterud K E, et al. Structural features and complement fixing activity of polysaccharides from *Codonopsis pilosula* Nannf. var. *modesta* L. T. Shen roots [J]. *Carbohydr Polym*, 2014, 113(26): 420-428.
- [9] 王丽波, 程龙, 徐雅琴, 等. 南瓜籽多糖热水提取工艺优化及其抗氧化活性 [J]. 农业工程学报, 2016, 32(9): 284-287.
- [10] 邵晶, 孙政华, 郭政, 等. Box-Behnken 设计-响应面法优化参芪复方总多糖醇沉工艺 [J]. 中国医药工业杂志, 2016, 47(8): 1012-1016.
- [11] 潘悠优, 花佩, 王允祥, 等. 无花果多糖提取、分离纯化及生物活性的研究进展 [J]. 食品科学, 2016, 37(17): 289-295.
- [12] Yang C X, Gou Y Q, Chen J Y, et al. Structural characterization and antitumor activity of a pectic polysaccharide from *Codonopsis pilosula* [J]. *Carbohydr Polym*, 2013, 98(15): 886-895.
- [13] Chen Y X, Liu X Y, Xiao Z, et al. Antioxidant activities of polysaccharides obtained from *Chlorella pyrenoidosa* via different ethanol concentrations [J]. *Int J Biol Macromol*, 2016, 430(22): 29-38.
- [14] Hammi K M, Hammami M, Rihouey C, et al. Optimization extraction of polysaccharide from *Tunisian zizyphus lotus* fruit by response surface methodology: Composition and antioxidant activity [J]. *Food Chem*, 2016, 212(1): 476-484.
- [15] 伍春. 党参多糖对 D-半乳糖致衰老小鼠皮肤抗氧化作用及基因表达谱的影响 [D]. 兰州: 甘肃中医学院, 2014.
- [16] Huang H D, Wu M M, Yang H P, et al. Structural and physical properties of sanxan polysaccharide from *Sphingomonas sanxanigenens* [J]. *Carbohydr Polym*, 2016, 144(25): 410-417.
- [17] Xin T, Zhang F B, Jiang Q Y, et al. The inhibitory effect of a polysaccharide from *Codonopsis pilosula* on tumor growth and metastasis *in vitro* [J]. *Int J Biol Macromol*, 2012, 51(5): 788-796.
- [18] Cescutti P, De Benedetto G, Rizzo R. Structural determination of the polysaccharide isolated from biofilms produced by a clinical strain of *Klebsiella pneumoniae* [J]. *Carbohydr Res*, 2016, 91(8): 505-513.
- [19] 何钢, 刘嵬, 李会萍. 银杏叶多糖分离纯化、结构鉴定及抗氧化活性研究 [J]. 食品工业科技, 2015, 36(22): 81-85.